

III. PRZEPEŁYWY WILGOCI

11 Wilgoć w materiałach budowlanych

Opis ruchu wilgoci w kapilarno-porowatych materiałach budowlanych należy do trudniejszych zagadnień fizyki budowli. Przyczyną tych trudności są specyficzne właściwości tych materiałów z mocno rozbudowaną powierzchnią wewnętrzną, rzędu 100 ha/m^3 dla piaskowca, betonu i podobnych materiałów. Zaadsorbowane na tych powierzchniach cienkie warstwy cieczy decydują zarówno o właściwościach reologicznych tych materiałów jak i złożoności zachodzącego w nim ruchu wilgoci.

W następstwie tego stwierdzamy, że w

- *mikroporach* o średnicy $10\text{Å} < \phi < 20\text{Å}$ nie obserwujemy ruchu cząstek wody względem fazy stałej,
- *mezoporach* o średnicy $20\text{Å} < \phi < 500\text{Å}$ stwierdzamy kondensację kapilarną (występują tu przepływy powierzchniowe),
- *makroporach* o średnicy $>500\text{Å}$ stwierdzamy różne formy ruchu wilgoci w części powierzchniowej i objętościowej.

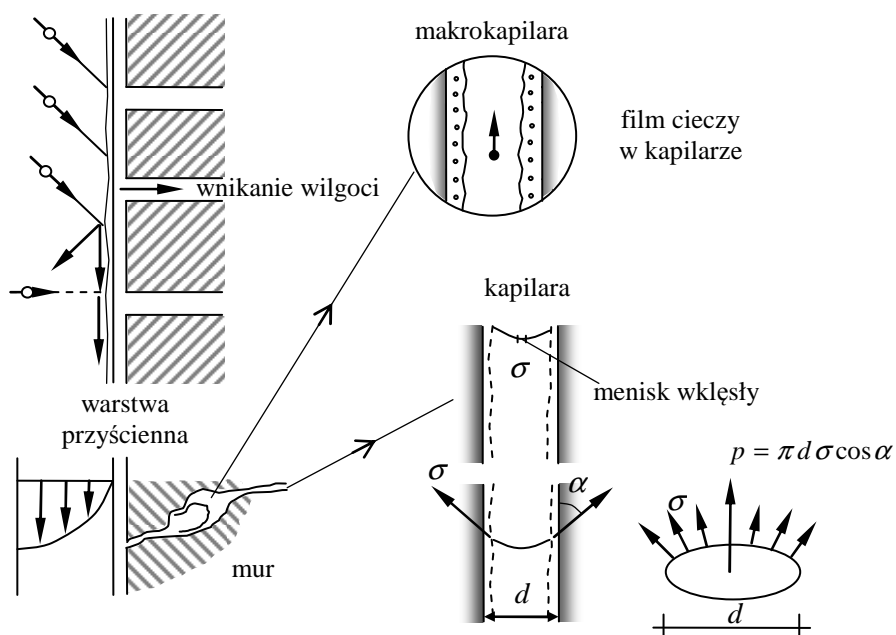
W realnym materiale budowlanym występują wszystkie z wymienionych typów porów w różnej proporcji.

W konsekwencji w cienkich porach można w przepływach wydzielić ruch cienkich filmów cieczy wywołanych zarówno gradientami grubości filmów jak i ciśnienia rozklinowującego. W miarę wzrostu średnicy porów pojawia się najpierw *dyfuzja powierzchniowa Volmera*, dalej *dyfuzja Knudsenowska*, aż po *przepływy lepkie warstw wilgoci*. Wymienione przepływy

są sklasyfikowane tzw. liczbą Knudseną $K = \frac{s}{d}$ jako stosunku średniej drogi swobodnej s do średnicy pora d .

12 Ruch wilgoci w materiale budowlanym

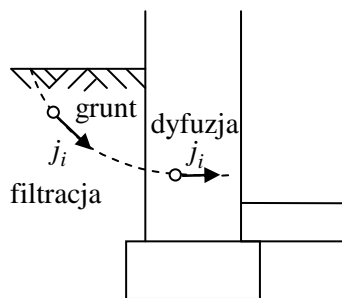
Spływająca po zewnętrznej powierzchni ściany woda tworzy film cieczy, z którego tylko nieznaczna część przenika do wnętrza przez tynk. Mamy tu zarówno lepki przepływ po ścianie jak i wnikanie do jej wnętrza w wyniku dyfuzji powierzchniowej i objętościowej oraz kapilarnego podciągania cieczy.



Rys.12.1. Ściana budynku ze spływającą wilgocią

W realnych materiałach porowatych sąsiadują z sobą makro- i mikrokapilary. W pierwszych może zachodzić *filtracja*, a w drugich *dyfuzja*. Co się jednak stanie, kiedy procesy te razem oddziałują na siebie, jak to przedstawiono na rysunku 12.2 oraz w rzeczywistości, np. przy zetknięciu się gruntu z murami piwnicy?

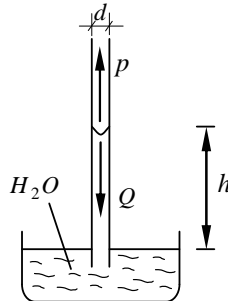
Schematycznie sytuację tę przedstawia złożony przepływ dyfuzyjno-filtracyjny w materiale (por.rys.12.2), gdzie wilgoć najpierw filtruje się przez grunt, a następnie dyfunduje przez ściany przyziemia.



Rys.12.2. Złożony przepływ dyfuzyjno-filtracyjny

13 Podciąganie kapilarne

Najprostszym przepływem wilgoci w materiałach budowlanych jest podciąganie kapilarne. Wynika ono z istnienia niezrównoważonych sił powierzchniowych.



Rys.13.1. Podciąganie kapilarne

Proces podciągania kapilarnego kończy się w chwili, kiedy wypadkowa sił powierzchniowych P jest równa ciężarowi Q podniesionego słupa wody w kapilarze na wysokość h względem zwierciadła wody.

Równowaga sił w kapilarze określa więc równanie

$$P - Q = 0, \quad (13.1)$$

gdzie ciężar Q dany jest relacją

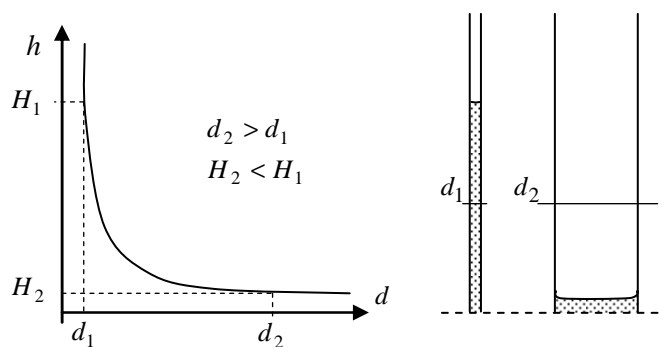
$$Q = \pi \left(\frac{d}{2} \right)^2 h \rho_w g. \quad (13.2)$$

Z kolei siłę P można wyrazić za pomocą napięcia powierzchniowego wody σ i kąta zwilżenia α , tzn.

$$P = \pi d \sigma \cos \alpha = \pi \frac{d^2}{4} h \rho_w g, \quad (13.3)$$

a stąd wyznaczymy wysokość podciągania h i ciśnienie p w kapilarze

$$h = \frac{4\sigma \cos \alpha}{\rho_w g d}, \quad p = \frac{4\beta}{\pi d^2} = \frac{4\sigma \cos \alpha}{d}. \quad (13.4)$$

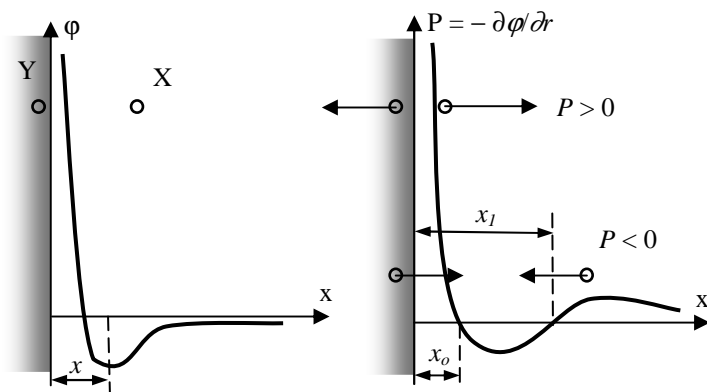


Rys.13.2. Zależność wysokości podciągania od średnicy kapilary

Analizując równowagę słupa cieczy w kapilarze możemy wyznaczyć wysokość podnoszenia słupa cieczy h . Z wzoru (13.4) wynika, że im mniejsza średnica d tym wyżej woda się podniesie.

14 Oddziaływanie cząstki wilgoci ze ścianą kapilary

W typowym materiale budowlanym (drewno, beton) występują pory i kapilary, przez które łatwo przechodzi wilgoć w formie ciekłej i gazowej. Cylindryczne powierzchnie kapilar są miejscem, gdzie oddziałują na siebie cząstki cieczy. Z uwagi na dużą powierzchnię wewnętrzną materiału oddziaływania te mają decydujący wpływ na właściwości materiałów porowatych. Z tej też przyczyny, opis ruchu wilgoci w materiale budowlanym rozpoczniemy od rozważania elementarnego oddziaływania: cząstka cieczy – cząstka stała.

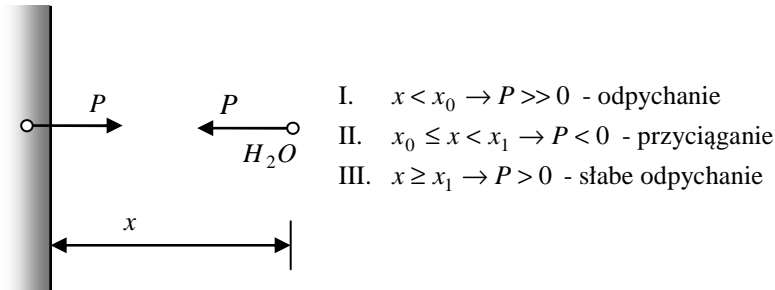


Rys.14.1. Oddziaływanie cząsteczki cieczy z ścianką płaską

Gradient potencjału oddziaływań ma postać

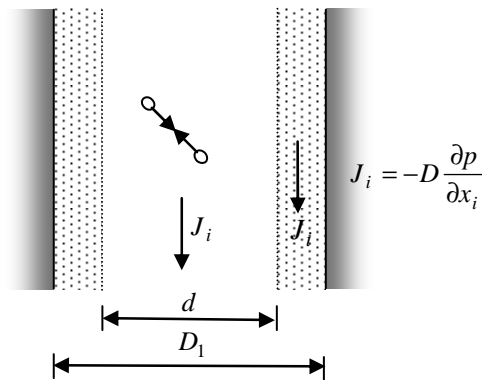
$$P = -\frac{\partial \varphi}{\partial x}. \quad (14.1)$$

W oddziaływaniu filmu cieczy z powierzchnią kapilary zachodzą przypadki.



Rys.14.2. Przypadki oddziaływań cząstek cieczy z ścianką płaską

Oddziaływanie cząstek znajdujących się w szczelinie między dwoma powierzchniami jest bardzo złożone, ale wynika z poprzednich rozważań. Mamy tu jakby symetryczne odbicie rozważań poprzednio prowadzonych. Stwierdzamy też coraz mniejszą ruchliwość cząstek w otoczeniu ścianek, a dużą w środku szczeliny.



Rys.14.3. Oddziaływanie cząstek w szczelinie

Stwierdzamy cztery różne przypadki oddziaływań w zależności D_1 od d .

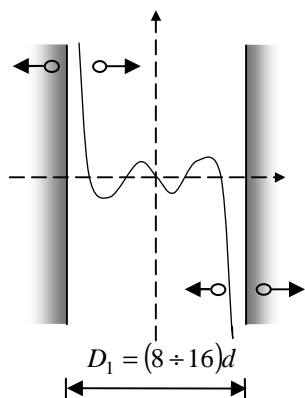
0. Przypadek ogólny szerokich porów: $D_1 \gg 24d$.

Przy powierzchni ściany mamy zaadsorbowane warstwy wilgoci, których warstwy przesuwać się przy pomocy lepkiego mechanizmu płynięcia. Natomiast w środku mamy ciągłą warstwę, gdzie cząstki cieczy oddziałują na siebie niezależnie od wpływu obu granicznych warstw stałych. W wyniku tego oddziaływania powstaje ciśnienie $p\delta_{ij}$, którego gradient wywołuje ruch filtracyjny J_i^0 . Przyczyną przepływu cieczy w środku kapilary jest gradient ciśnienia, z którego wynika lepki przepływ cieczy.

- I. Jeżeli zmniejsza się średnica porów D_1 w przedziale $16d < D_1 < 24d$ to zanika laminarny przepływ w części środkowej. Wtedy utrudniony jest już ruch wywołany przez gradient ciśnienia, natomiast przy małej ilości cząstek w części środkowej ruch wywołany jest przez gradient stężenia cząstek wody. Konwekcyjny ruch cieczy przechodzi coraz bardziej w ruch dyfuzyjny. Mamy tu do czynienia z objętościową dyfuzją Knudsena

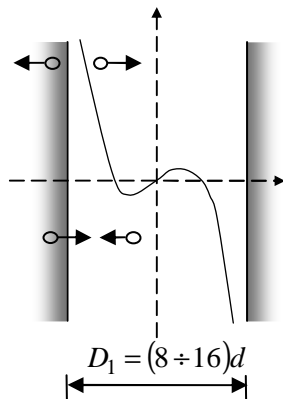
$$j_i^k = -Dc_{,i}. \quad (14.2)$$

- II. Kolejna jakościowa zmiana następuje, gdy średnica D_1 jest równa 16-tu unormowanym średnicom cząstek cieczy.



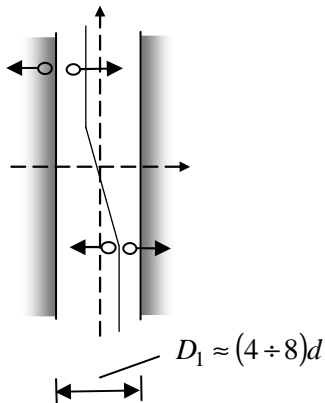
Przy $D_1 = 16d$ zanika dyfuzja w środku pora, ale szczelina nie jest jeszcze „sklejona”, ponieważ występuje ruch cząstek równoległy do osi pora, tym bardziej, że w środku nadal są słabe siły odpychające od ścianek.

III. Przy dalszym zmniejszaniu się średnicy zanika odpychanie w części środkowej, a rośnie przyciąganie.



Przy $D_1 = (8 \div 16)d$ prawie zanika ruch wilgoci w szczelinie, a przy rozstawie ścianek $(4 \div 8)d$ woda bardzo silnie „skleja” szczelinę.

IV. Krańcowe zmniejszanie się odległości D_1 prowadzi do zaniku strefy przyciągania.



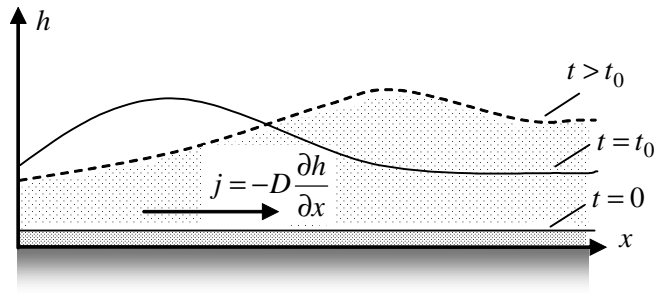
Cząstka w części środkowej może zająć neutralne położenie, ale każde wychylenie w stronę ścianki wywołuje powstanie dużych sił odpychających. Nie ma dyfuzji. Zanika ruch fazy ciekłej w poprzek ścianek. Tworzy się *kontakt koagulacyjny* czyli *kontakt między dwoma ścianami za pośrednictwem cienkiego filmu cieczy*: kontakt ten jakby skleja dwie powierzchnie w fazie stałej. Zauważmy, iż przy ścieśnianiu kontaktu wystąpią siły odpychające, a przy rozszerzaniu siły przyciągające. Sytuacja zmienia się jeżeli

wystąpi para sił tnących skierowanych wzdłuż ścianek. Wówczas może wystąpić wzajemny poślizg w kontakcie przy zachowaniu jego grubości. To właśnie z takimi poślizgami związane są procesy pełzania i relaksacji w kapilarno-porowatych materiałach budowlanych.

15 Ruch wilgoci – równania konstytutywne

Z przedstawionych poprzednio opisów oddziaływań wilgoci ze ścianką kapilary wynika kilka różnych mechanizmów ruchu wilgoci, a mianowicie:

I. Ruch filmu cieczy

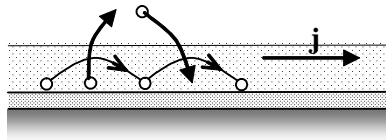


Rys.15.1. Przepływ wywołany gradientem grubości filmu cieczy

W zależności od grubości filmu cieczy wystąpią różne siły oddziaływania wywołujące ruch warstw cieczy. Przyczyną przepływu jest gradient grubości filmu cieczy $\frac{\partial h}{\partial x}$. W przypadku ogólnym będzie

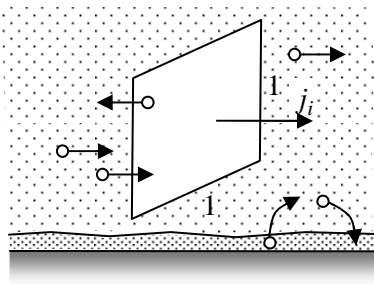
$$j_i = -\tilde{D}_{ij} \frac{\partial h}{\partial x_j} - \text{dyfuzja powierzchniowa filmu cieczy.} \quad (15.1)$$

Γ. Podobny efekt wywołuje *Volmerowska dyfuzja powierzchniowa*, gdzie przyczyną przepływu jest gradient stężenia powierzchniowego.



Rys.15.2. Dyfuzja powierzchniowa

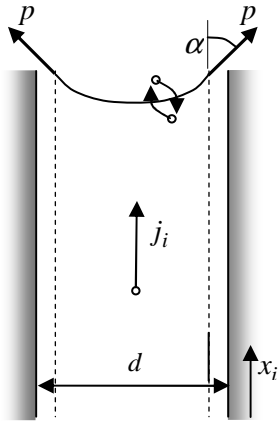
II. Kolejny mechanizm dotyczy cząstek wilgoci w środkowej części kapilary. Przyczyną jest tu gradient stężenia, zaś siły powierzchniowe mają tu mniejsze znaczenie



Dyfuzję objętościową Knudseną określa równanie

$$j_i = -D_{ij} \frac{\partial c}{\partial x} \rightarrow j_i = -D \frac{\partial c}{\partial x_i} \quad (15.2)$$

III. Przepływ kapilarny w materiałach budowlanych



Podciąganie kapilarne wywołane jest siłami napięcia powierzchniowego na granicy fazy ciekłej i gazowej. Przepływ ten wyznaczmy określając najpierw przyrost siły kapilarnej, a następnie równania fizyczne opisujące ten ruch.

$$p = \pi d \cos \alpha$$

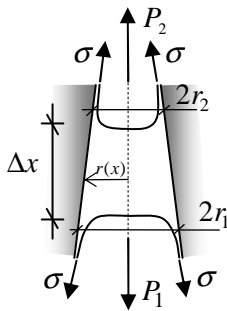
$$j_i = -f_{ij} \frac{\partial p}{\partial x_j}$$

$$p = \frac{4\sigma \cos \alpha}{d}$$

(15.3)

Siły podciągania kapilarnego występują tylko na granicy fazy ciekłej i gazowej.

IV. Przepływ wywołany różnicą średnic kapilar



Analizujemy siły w kapilarze o zmiennej średnicy wypełnionej na części Δx cieczą. Można dla obu menisków wyliczyć średni przyrost sił kapilarnych

$$\Delta p = \frac{P_1 - P_2}{\Delta x} \rightarrow dp = \Delta p = \frac{-2\sigma \cos \alpha}{r^2} \frac{\Delta r}{\Delta x},$$

$$\text{grad } p = \frac{-2\sigma \cos \alpha}{r^2} \text{grad } r$$

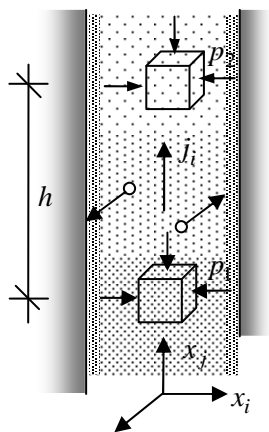
(15.4)

lub po przejściu do granicy otrzymamy $\text{grad } p$. Strumień wilgoci przyjmie tu postać

$$j_i = -f_{ij} \frac{\partial p}{\partial x_j}, \quad j_i = -f_{ij} \frac{\partial r}{\partial x_j} \frac{2\sigma \cos \alpha}{r^2}. \quad (15.5)$$

- V. Przepływy *filtracyjne dotyczą makrokapilar*, gdzie w części środkowej praktycznie zanika oddziaływanie ścianek. Przepływ ten opisuje równanie filtracji wg prawa Darcy'ego

$$j_i = k_{ij} \frac{\partial p}{\partial x_j}. \quad (15.6)$$



Przyczyną tego przepływu jest przyrost (gradient) ciśnienia ($p_1 - p_2$) występujący na odcinku kapilary o długości h , który wywołuje ruch. W przejściu granicznym prowadzi on do gradientu ciśnienia

$$\frac{p_1 - p_2}{h} \rightarrow \frac{\partial p}{\partial x_j}. \quad (15.7)$$

Zostały tu przedstawione 4 różne mechanizmy transportu wilgoci-od ruchu cienkich filmów cieczy, dyfuzji powierzchniowej i objętościowej czy podciąganie kapilarne, aż po filtrację.

W realnych materiałach budowlanych spotykamy w różnej proporcji wszystkie z wyszczególnionych tu mechanizmów:

- w makroporach będzie występować głównie filtracja,
- w nieco mniejszych mezokapilarach dominować będzie podciąganie kapilarne i dyfuzja objętościowa,
- w mikroporach dominować będzie dyfuzja powierzchniowa i ruch w cienkich filmach cieczy.

Powstaje pytanie: jaki powinien być model ruchu wilgoci w materiale i przegrodzie budowlanej?

W tej różnorodności zjawisk fizycznych istnieją jednak elementy wspólne, którymi są: strumień wilgoci tak samo zdefiniowany jako ilość wilgoci przepływającej przez ekran jednostkowy w jednostce czasu.

Kolejną rzeczą wspólną jest gradient pewnej wielkości skalarnej, która może być kolejno: grubością filmu cieczy, stężeniem cząstek, promieniem kapilary i ciśnieniem hydrostatycznym.

W konsekwencji można wyobrazić sobie, że zostanie wprowadzona pewna ogólna wielkość skalarna, której gradient będzie wywoływał ruch wilgoci. Tą wielkością w chemii fizycznej jest *potencjał chemiczny* oznaczony przez

M , natomiast w fizyce budowli wykorzystywało się kiedyś tzw. potencjał wilgoci, proponowany przez Krischera w 1936r. i podobnie przez Łykowa w 1938r.

Ogólnie równanie przepływu wilgoci powinno mieć postać

$$j_i = -D_{ij}^0 \frac{\partial M}{\partial x_j}, \quad (15.8)$$

gdzie M jest *potencjałem chemicznym*. Jest to podstawowe równanie fizyczne dotyczące ruchu wilgoci w materiałach kapilarno-porowatych.

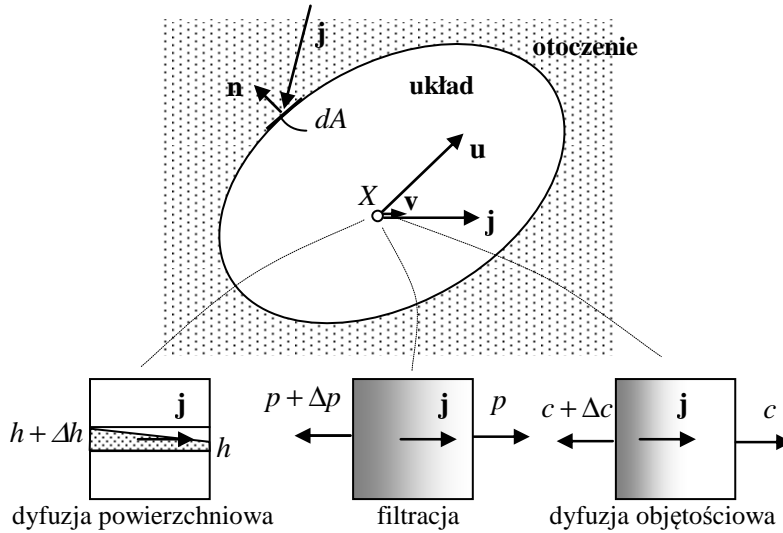
Najczęściej stosowane w rozważaniach dotyczących ruchu wilgoci są szczególne formy równań transportu:

$$j_i = -D_{ij}^0 \frac{\partial M}{\partial x_j} \begin{cases} \nearrow j_i = -\bar{D}_{ij} \frac{\partial c}{\partial x_j} & \text{– dyfuzja (beton, cegła), (15.9)} \\ \rightarrow j_i = -K_{ij} \frac{\partial p}{\partial x_j} & \text{– filtracja (grunt), (15.10)} \\ \searrow j_i = -\tilde{D}_{ij} \frac{\partial h}{\partial x_j} & \text{– dyf. powierzchniowa, (15.11)} \end{cases}$$

gdzie c, p, h to kolejno stężenie wilgoci, ciśnienie i grubość filmu cieczy.

16 Równanie ruchu wilgoci w materiale kapilarno porowatym

Problem opisują bilanse masy, równania fizyczne oraz warunki brzegowe i początkowe. Wilgoć występuje tu w postaci cienkiego filmu cieczy na ścianach kapilar o gęstości ρ^1 , pary wodnej o gęstości ρ^2 i wilgoci dyfundującej w sieci mikrokapilar o gęstości ρ^3 . Dla każdego z tych składników wypiszemy parcjalny bilans masy.



Rys.16.1. Mechanizmy ruchu wilgoci w materiale

Globalna postać bilansu masy dyfundującego składnika α ($\alpha=1,2,3$)

$$\frac{d}{dt} \int_V \rho^\alpha dV = \int_V \rho R^\alpha dV. \quad (16.1)$$

Bilans masy po wykorzystaniu twierdzenia Gaussa przyjmie formę

$$\int_V \left(\frac{\partial \rho^\alpha}{\partial t} + \frac{\partial(\rho^\alpha v_i^\alpha)}{\partial x_i} - \rho R^\alpha \right) dV = 0. \quad (16.2)$$

Lokalna postać bilansu masy składnika α

$$\frac{\partial \rho^\alpha}{\partial t} = \rho R^\alpha - \frac{\partial}{\partial x_i} (\rho^\alpha v_i^\alpha). \quad (16.3)$$

Wyszczególnione bilanse cząstkowe (α) po zsumowaniu powinny spełniać zasadę zachowania masy

$$\sum_\alpha \frac{\partial}{\partial t} (\rho^\alpha) - \sum_\alpha \rho^\alpha R^\alpha + \sum_\alpha (\rho^\alpha v_i^\alpha)_{,i} = 0 \rightarrow \frac{\partial \rho}{\partial t} + (\rho v_i)_{,i} = 0, \quad (16.4)$$

stąd

$$\rho = \sum_\alpha \rho^\alpha, \quad \rho v_i = \sum_\alpha \rho^\alpha v_i^\alpha, \quad \sum_\alpha \rho^\alpha R^\alpha = 0. \quad (16.5)$$

W równaniu dyfuzji wygodnie jest wprowadzić w miejsce gęstości udziały masowe (stężenie c)

$$c^\alpha \equiv \frac{\rho^\alpha}{\rho}, \text{ np. } c^1 = \frac{\rho_{H_2O}}{\rho}, \quad (16.6)$$

$$\rho = \sum_{\alpha} \rho^\alpha, \quad \rho = \rho_{H_2O} + \rho_{szkel.} + \dots \quad (16.7)$$

Po wprowadzeniu stężenia c^α oraz równania fizycznego (15.9) do (16.2) otrzymamy równanie dyfuzji składnika α

$$\rho \frac{\partial c^\alpha}{\partial t} = \rho R^\alpha - j_{i,i}^\alpha \rightarrow \rho \frac{\partial c^\alpha}{\partial t} = \rho R^\alpha + D_{ij}^\alpha \frac{\partial^2 c^\alpha}{\partial x_i \partial x_j}, \quad \frac{dc^\alpha}{dt} \approx \frac{\partial c^\alpha}{\partial t}. \quad (16.8)$$

Warunki brzegowe:

$$\begin{aligned} c|_A &= c_0, & - \text{I rodzaju} \\ j_i|_A &= j_i^0, & - \text{II rodzaju} \\ j_i|_A &= \alpha_T (c - c_p) n_i, & - \text{III rodzaju} \\ c(0_+) &= c_0. & - \text{warunek początkowy} \end{aligned}$$

Z równania (16.8) wynikają następujące przypadki szczególne:

- stacjonarne równanie dyfuzji, kiedy $\dot{c} = 0$

$$D_{ij} \frac{\partial^2 c}{\partial x_i \partial x_j} + \rho R = 0, \quad (16.9)$$

- stacjonarne i bezźródłowe równanie dyfuzji, kiedy $\rho R = 0$, $\dot{c} = 0$

$$D_{ij} \frac{\partial^2 c}{\partial x_i \partial x_j} = 0 \Rightarrow D \frac{\partial^2 c}{\partial x^2} = 0. \quad (16.10)$$

Zauważmy, że rozwiązaniem najprostszego równania dyfuzji jest rodzina prostych zależna od dwóch parametrów.

17 Równanie filtracji

Z osobną grupą problemów spotykamy się w materiałach gruboporowatych o ciągłej sieci makroporowatej, a także w materiałach rozdrobnionych, takich jak niektóre grunty budowlane. I w tych przypadkach występuje kilka mechanizmów przepływu wilgoci zależnych m.in. od stopnia nasycenia szkieletu, temperatury i innych. Podobnie jak w poprzednich przypadkach należy i tu wprowadzić pewną wielkość skalarną, którego gradient jest przyczyną przepływu, czyli *potencjał pola przepływu*.

W przypadku pełnego nasycenia porów i pustek materiału takim potencjałem może być ciśnienie w cieczy wypełniającej grunt.

Proces filtracji opisują analogicznie jak poprzednio bilanse masy i warunki początkowo-brzegowe. Różny jest tylko mechanizm przepływu opisany równaniem (15.9), gdzie przepływ wynika z gradientu ciśnienia. Zachodzi

$$c = c(p) \quad \text{oraz} \quad pV = mRT \quad \rightarrow \quad \rho = \frac{p}{RT} \quad \rightarrow \quad \dot{\rho} \cong \frac{\dot{p}}{RT}, \quad (17.1)$$

relacje te wynikają z równania gazu idealnego.

Z bilansu masy otrzymamy

$$\frac{\partial \rho}{\partial t} = \rho R - \frac{\partial}{\partial x_i} (\rho v_i) \quad \text{i} \quad j_i = \rho v_i = -\hat{K}_{ij} \frac{\partial \rho}{\partial x_j}, \quad (17.2)$$

$$\frac{1}{RT} \frac{\partial p}{\partial t} = \rho R - K_{ij} \frac{\partial^2 p}{\partial x_i \partial x_j}, \quad j_i = -K_{ij} \frac{\partial p}{\partial x_j}. \quad (17.3)$$

W przepływach tych można zdefiniować ciśnienie p ($\sigma_{ij} = p \delta_{ij}$), jako miarę oddziaływania międzycząsteczkowego w ciągłej fazie cieczy. Typowymi są tu oddziaływania cząstek w fazie ciekłej. Natomiast w analizie przepływów dyfuzyjnych wilgoci dominują oddziaływania między cząstką dyfundującą a szkieletem.

W ogólniejszym przypadku $\rho = \rho(p, T)$ stąd można przyjąć, że

$$\frac{\partial \rho}{\partial t} = \frac{\partial \rho}{\partial p} \frac{\partial p}{\partial t} + \frac{\partial \rho}{\partial T} \frac{dT}{dt} \approx D(p) \frac{\partial p}{\partial t} \quad \text{przy} \quad \frac{dT}{dt} \approx 0. \quad (17.4)$$

Przypadkami szczególnymi równania (17.3) są:

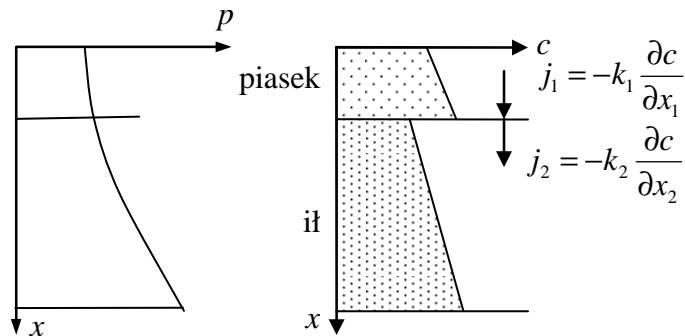
- filtracja stacjonarna, kiedy $\dot{p} \approx 0$

$$K_{ij} \frac{\partial^2 p}{\partial x_i \partial x_j} + \rho R = 0, \quad (17.5)$$

- stacjonarna i bezźródłowa filtracja, kiedy $\dot{p} = 0$ i $\rho R \approx 0$ prowadzi do prostego równania jednowymiarowej filtracji

$$K_{ij} \frac{\partial^2 p}{\partial x_i \partial x_j} = 0 \rightarrow k \frac{\partial^2 p}{\partial x^2} = 0. \quad (17.6)$$

Należy jeszcze wyjaśnić, dlaczego ciśnienie wilgoci p nie może być zawsze potencjałem dla ruchu wilgoci. Prześledźmy w tym celu ruch wilgoci w uwarstwionym podłożu, gdzie sąsiaduje piasek z nieprzepuszczalnym iłem. Na styku tych warstw wystąpi skok stężeń wilgoci, brak tu ciągłości procesu.

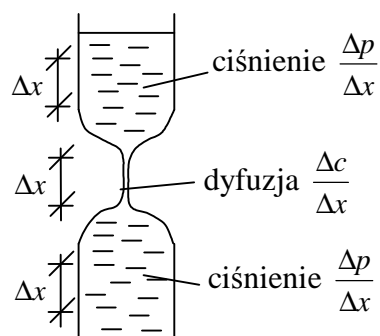


Rys.17.1. Nieciągłości stężeń w przepływach filtracyjnych

Przedstawione trudności związane z nieciągłościami ciśnień i strumieni wilgoci na stykach warstw stanowi zasadniczą trudność rozwiązywania problemów filtracji dla potrzeb budownictwa.

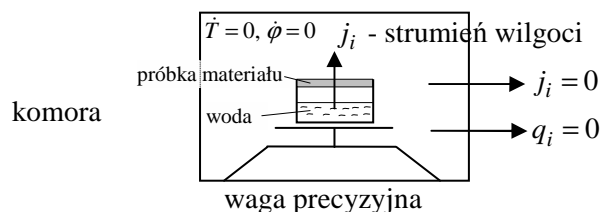
18 Szacowanie współczynników przepływu wilgoci

Osobną grupę problemów stanowi wyznaczenie współczynników kinetycznych występujących w równaniach przepływów wilgoci w materiałach budowlanych. Występujące w tych rozważaniach stałe materiałowe należy wyznaczyć z eksperymentu wykonanego w laboratorium. Sprawę komplikuje jednocześnie występowanie kilku mechanizmów przepływu w materiale, a głównie przepływów natury dyfuzyjnej z filtracyjnymi, przedstawionych schematycznie na rys.18.1. W pierwszym przypadku przepływ wymusza gradient ciśnienia a w drugim – stężenia. Natomiast uśredniony przepływ można przybliżać jako dyfuzyjny w przypadku przepływów wilgoci w materiałach budowlanych lub filtracyjny przy przepływach w gruncie lub materiałach rozdrobnionych.



Rys.18.1. Jednoczesny przepływ dyfuzyjny i filtracyjny

I. W **przepływach dyfuzyjnych** przy wyznaczaniu stężeń wilgoci oraz jej kondensacji na ściankach kapilar musimy znać współczynniki materiałowe określające te procesy, a w szczególności *współczynnik dyfuzji pary przez materiał*. Współczynnik ten wyznacza się w badaniach laboratoryjnych prowadzonych w komorze klimatycznej.



Rys.18.2. Schemat pomiaru współczynnika dyfuzji

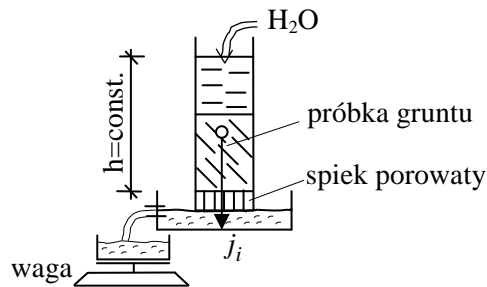
Na rysunku 18.2 przedstawiono schemat pomiaru ubytku wilgoci dyfundującej przez warstwę badanego materiału. We wnętrzu komory utrzymywana jest stała temperatura $T=const.$ oraz wilgotność względna $\phi=const.$. Mamy więc zapewniony jednowymiarowy przepływ wilgoci przez próbkę badanego materiału w warunkach izotermicznych. Na podstawie ubytków masy (wilgoci) możemy określić *izotermiczny współczynnik dyfuzji pary wodnej* w badanym materiale.

Z poprzednich rozważań wynika, że o zjawisku decydują nie tylko równania fizyczne, ale również równania bilansów i warunki początkowo-brzegowe. W eksperymencie mierzymy na ogół zmiany jednej wielkości, np. ubytku masy przy stałej wartości pozostałych parametrów. Oznacza to, że proces powinien być stacjonarny, bezźródłowy. Wtedy z uproszczonego równania fizycznego

$$j = -D \frac{\Delta C}{\Delta x} \text{ wyznaczmy przybliżoną wartość współczynnika transportu}$$

$$D = -j \frac{\Delta x}{\Delta C}.$$

II. Analogicznie, **współczynnik filtracji** wyznaczamy z pomiarów przepływu wody w kolumnach filtracyjnych. Przepływ ten ma zasadniczo odmienny charakter od poprzedniego – dyfuzyjnego.



Rys.18.3. Schemat pomiaru współczynnika filtracji

Dominuje tu ciągła faza ciekła w odróżnieniu od rozproszonej typowej dla dyfuzji. W konsekwencji można tu wprowadzić ciśnienie, jako podstawowy parametr fizyczny wymuszający przepływ.

Pomiar przepływu filtracyjnego jest możliwy przy stałej wysokości słupa cieczy lub przy zmiennej wartości słupa cieczy. W obu przypadkach stosujemy odmienne techniki pomiarowe. W pierwszym przypadku mierzymy masę przepływającej cieczy, zaś w drugim zmiany wysokości słupa cieczy w czasie.

Przykład III.1

Wskutek pionowego zagęszczenia gruntów jego własności mechaniczne w kierunku pionowym i poziomym są różne, a w szczególności przepływy filtracyjne. Należy podać pełne równanie filtracji w gruncie uwzględniające jego pionowe zagęszczenie.

Odpowiedź:

Przyjmując, że normalna do powierzchni pokrywa się z osią x_3 , a osie w płaszczyźnie poziomej to x_1 i x_2 , możemy zapisać równanie dla strumienia filtracji:

$$j_i = -k_{ij} \frac{\partial p}{\partial x_j} = -[k(\delta_{i1} \delta_{j1} + \delta_{i2} \delta_{j2}) + \bar{k}(\delta_{i3} \delta_{j3})] \frac{\partial p}{\partial x_j} =$$

$$= -k(\delta_{i1} \frac{\partial p}{\partial x_1} + \delta_{i2} \frac{\partial p}{\partial x_2}) - \bar{k} \delta_{i3} \frac{\partial p}{\partial x_3}.$$

Podstawiając ten rezultat do bilansu masy uzyskamy:

$$\frac{\partial c}{\partial t} = R^\alpha + k\left(\frac{\partial^2 p}{\partial x_1^2} + \frac{\partial^2 p}{\partial x_2^2}\right) + \bar{k} \frac{\partial^2 p}{\partial x_3^2},$$

w przypadku przepływów stacjonarnych i bezźródłowych zachodzi:

$$k\left(\frac{\partial^2 p}{\partial x_1^2} + \frac{\partial^2 p}{\partial x_2^2}\right) + \bar{k} \frac{\partial^2 p}{\partial x_3^2} = 0.$$

Przepuszczalność gruntu opisują dwa współczynniki filtracji k i \bar{k} .